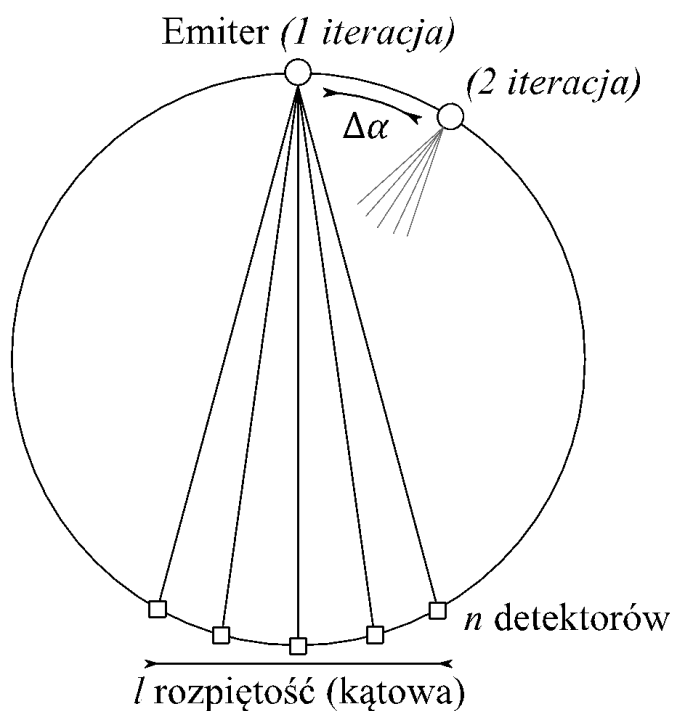


# Informatyka w medycynie - Tomograf - Raport

Grupa laboratoryjna: L9	Skład grupy:	Prowadzący zajęcia:  dr inż. Iwo Błądek
	Wiktor Jordeczka (151 785)	
	Konrad Kaczmarek (151 741)	

## 1) Zastosowany model tomografu:

Wykorzystano model stożkowy, 1 emiter do n detektorów.



## 2) Zastosowany język programowania oraz dodatkowe biblioteki:

- a) Język: Python
- b) Dodatkowe niestandardowe biblioteki:
  - i) numpy – operacje na wektorach i macierzach
  - ii) skimage (scikit-image w pip) – wczytywanie obrazka
  - iii) pydicom – obsługa plików dicom
  - iv) tkinter - GUI
  - v) ttkthemes - GUI
  - vi) tkcalendar - GUI

### 3) Opis głównych części programu

#### a) Pozyskiwanie odczytów dla poszczególnych detektorów

```
1. def radonTransform(img,t,img_label, emitterRange = 180, numOfDetectors = 180, numOfScans = 180, alphaShift
= 2, animating = False, animationInterval = 20):
2.     t.set_label_progress("Transformata Radona")
3.     alphaShift = math.radians(alphaShift)
4.     center = (len(img)//2, len(img[0])//2)
5.     R = max(center) * math.sqrt(2)
6.     alpha = (2*math.pi*90)/360 # alpha emitera, zaczynamy od 90 stopni
7.     phi = (2*math.pi*emitterRange)/360 # kąt rozwarcia dla detektorów
8.     sinogram = np.zeros(shape=(numOfScans,numOfDetectors))
9.     for scan in range(numOfScans): # dla każdego skanu (pozycji emitera)
10.         t.progress((scan/numOfScans)*100)
11.         # tutaj dla wyznaczanych współrzędnych odnoszę się do środka, aby nie robić potem przesunięć
12.         xe = center[0] + round(R * math.cos(alpha))
13.         ye = center[1] - round(R * math.sin(alpha))
14.         for det in range(numOfDetectors): # dla każdego detektora wyznaczamy jego współrzędne
15.             xd = center[0] + round(R * math.cos(alpha+math.pi-phi/2 + det*phi/(numOfDetectors-1)))
16.             yd = center[1] - round(R * math.sin(alpha+math.pi-phi/2 + det*phi/(numOfDetectors-1)))
17.             sinogram[scan][det] = bresenham(img,xe,ye,xd,yd) # rysujemy linię od emitera do detektora, zapisujemy
średnią jasność pikseli
18.         alpha += alphaShift # wykonujemy przesunięcie
19.         if animating and scan % animationInterval == 0: # sekcja animacji
20.             t.showImage(normalize(sinogram),img_label)
21.     return sinogram
```

W linii 17. Korzystamy z funkcji rysującej linię algorytmem Bresenhama, zwracającej średnią jasność pikseli w narysowanej linii:

```
1. def bresenham(img,x1,y1,x2,y2): # algorytm Bresenhama, zwraca średnią jasność
2.     max_x = len(img)
3.     max_y = len(img[0])
4.     sum = 0
5.     n = 0
6.     x = x1
7.     x_inc = 1 # inkrement
8.     dx = x2 - x1 # przesunięcie
9.     y = y1
10.    y_inc = 1
11.    dy = y2 - y1
12.    if x1>=x2: # rysujemy w lewo, zamiast w prawo
13.        x_inc = -1
14.        dx = x1 - x2
15.    if y1>=y2: # rysujemy w dół, zamiast w górę
16.        y_inc = -1
17.        dy = y1 - y2
18.    if dx > dy: # oś wiodąca OX
19.        ep_inc_a = 2*(dy-dx)
20.        ep_inc_b = 2*dy
21.        ep = ep_inc_b - dx # błąd (odchylenie od współrzędnych całkowitych)
22.        while x!=x2:
23.            if not(x>=max_x or y>=max_y or x<0 or y<0): # sprawdzamy czy nie jesteśmy poza obrazkiem
24.                sum += img[x-1][y-1]
25.                n += 1
26.            if ep>=0:
27.                y += y_inc
28.                ep += ep_inc_a
29.            else:
30.                ep += ep_inc_b
31.                x += x_inc
32.        else: # oś wiodąca OY
33.            ep_inc_a = 2*(dx-dy)
34.            ep_inc_b = 2*dx
35.            ep = ep_inc_b - dy # błąd (odchylenie od współrzędnych całkowitych)
36.            x = x1
37.            while y!=y2:
38.                if not(x>=max_x or y>=max_y or x<0 or y<0):
39.                    sum += img[x-1][y-1]
40.                    n += 1
41.                if ep>=0:
42.                    x += x_inc
43.                    ep += ep_inc_a
```

```

44.         else:
45.             ep += ep_inc_b
46.             y += y_inc
47.     try:
48.         a = sum/n # średnia jasność pikseli w rysowanej linii
49.     except:
50.         a = 0 # Uroki okręgu opisanego `_(ツ)`_`
51.     return a

```

## b) Filtrowanie sinogramu, zastosowany rozmiar maski

```

1. def filtr(sinogram,t,img_label, animating = False): # filtr splotowy
2.     t.set_label_progress("Filtrowanie")
3.     result = []
4.     for i in range(1,11): # tworzymy połowę maski
5.         if i%2==0:
6.             result.append(0)
7.         else:
8.             result.append(-4/pow(math.pi,2)/pow(i,2))
9.     res2 = result.copy()
10.    result.reverse() # wykorzystujemy odbicie lustrzane
11.    kernel = result + [1] + res2 # tworzymy maskę o rozmiarze 21
12.    for i in range(sinogram.shape[0]):
13.        t.progress((i/sinogram.shape[0])*100)
14.        sinogram[i, :] = np.convolve(sinogram[i, :], kernel, mode="same") # wykonujemy splot
15.        if animating:
16.            t.showImage(normalize(sinogram),img_label,flag=True)

```

## c) Ustalanie jakości poszczególnych punktów obrazu wynikowego oraz jego przetwarzanie końcowe (uśrednianie, normalizacja)

Uśrednianie jest wykonywane w trakcie rysowania linii algorytmem Bresenhama, zaprezentowanego [powyżej](#).

Jasność pikseli obrazu końcowego jest ustalana podczas wykonywania odwrotnej transformaty Radona:

```

1. def inverseRadonTransform(sinogram, img,t,img_label, emitterRange = 180, numOfDetectors = 180, numOfScans = 180, alphaShift = 2, animating = False, animationInterval=20):
2.     t.set_label_progress("Odwrotna Transformata Radona")
3.     alphaShift = math.radians(alphaShift)
4.     center = (img.shape[0]//2, img.shape[1]//2)
5.     R = max(center) * math.sqrt(2)
6.     alpha = (2*math.pi*90)/360 # alpha emitera, zaczynamy od 90 stopni
7.     phi = (2*math.pi*emitterRange)/360 # kąt rozwarcia dla detektorów
8.     reconstructed = np.zeros(shape=img.shape)
9.     for scan in range(numOfScans): # dla każdego skanu (wzmocnienia)
10.        t.progress((scan/numOfScans)*100)
11.        # tutaj dla wyznaczanych współrzędnych odnoszę się do środka, aby nie robić potem przesunięć
12.        xe = center[0] + round(R * math.cos(alpha))
13.        ye = center[1] - round(R * math.sin(alpha))
14.        for det in range(numOfDetectors): # dla każdego detektora
15.            xd = center[0] + round(R * math.cos(alpha+math.pi-phi/2 + det*phi/(numOfDetectors-1)))
16.            yd = center[1] - round(R * math.sin(alpha+math.pi-phi/2 + det*phi/(numOfDetectors-1)))
17.            coords = inverseBresenham(img.shape[0], img.shape[1],xe,ye,xd,yd) # wyznaczamy linię między emiterym a detektorem
18.            reconstructed[tuple(np.transpose(coords))] += sinogram[scan][det] # wzmacniamy piksele wyznaczonej linii o zapisaną wcześniej średnią
19.            alpha += alphaShift # wykonujemy przesunięcie
20.            if animating and scan % animationInterval == 0: # sekcja animacji
21.                t.showImage(normalize(reconstructed),img_label)
22.                mse, rmse = calcRMSE(img,normalize(reconstructed))
23.                t.set_label_progress(f"Odwrotna Transformata Radona\nRMSE: {rmse:.4f}")
24.            mse, rmse = calcRMSE(img,normalize(reconstructed))
25.            t.set_label_progress(f"Odwrotna Transformata Radona\nRMSE: {rmse:.4f}")
26.    return normalize(reconstructed) # normalizujemy obraz wynikowy

```

W linii 26. wykorzystana jest poniższa funkcja normalizująca:

```
1. def normalize(im): # normalizacja obrazu
2.     norm = np.zeros(shape=(im.shape))
3.     im_max = im.max()
4.     im_min = 0
5.     for x in range(im.shape[0]):
6.         norm[x] = np.interp(im[x], (im_min, im_max), (0, 255))
7.     return norm
```

#### d) Wyznaczenie wartości miary RMSE na podstawie obrazu źródłowego i wynikowego

```
1. def calcRMSE(im1, im2): # obliczanie RMSE
2.     mse = np.square(np.subtract(im1, im2)).mean()
3.     return (mse, math.sqrt(mse)) # (mse, rmse)
```

#### e) Odczyt plików DICOM

```
1. def choose_file(self):
2-8.     ...
9.     if self.file_path[-4:] == ".dcm": # dla plików dicom
10.        dcm = dic.dcmread(self.file_path) # wczytanie pliku
11.        self.im = tm.normalize(dcm.pixel_array) # wydobywanie danych pikseli z pliku dicom + normalizacja
12.        print(dcm)
13.        # odczytujemy wybrane informacje
14.        self.name_entry.insert(0, dcm.PatientName.family_comma_given())
15.        self.id_entry.insert(0, dcm.get('PatientID', 'BRAK'))
16.        self.date_entry.set_date(datetime.strptime(dcm.get('StudyDate', ''), '%m/%d/%y').date())
17.        if (0x0010, 0x4000) in dcm:
18.            self.comment_entry.insert(0, dcm[0x00104000].value)
```

#### f) Zapis plików DICOM

```
1. def jpg_to_dcm(reconstructed, name="BRAK", patient_id="0", date="", comment="BRAK"): # zapisywanie obrazu do dicom
2.     # Meta tagi
3.     file_meta = dic.dataset.FileMetaDataset()
4.     file_meta.MediaStorageSOPClassUID = dic.uid.UID('1.2.840.10008.5.1.4.1.1.2')
5.     file_meta.MediaStorageSOPInstanceUID = dic.uid.generate_uid()
6.     file_meta.ImplementationClassUID = dic.uid.UID("1.2.826.0.1.3680043.8.498.1")
7.     dcm = dic.dataset.FileDataset("output.dcm", {}, file_meta=file_meta, preamble=b"\0" * 128)
8.     dcm.file_meta.TransferSyntaxUID = dic.uid.ImplicitVRLittleEndian
9.     dcm.is_little_endian = True
10.    dcm.is_implicit_VR = True
11.
12.    # Zapisujemy wybrane dane o pacjencie i badaniu
13.    dt = datetime.datetime.now()
14.    if date == "":
15.        dcm.StudyDate = dt.strftime('%Y%m%d')
16.        dcm.ContentDate = dt.strftime('%Y%m%d')
17.    else:
18.        dcm.StudyDate = date
19.        dcm.ContentDate = date
20.    dcm.StudyTime = dt.strftime('%H%M%S')
21.    timeStr = dt.strftime('%H%M%S.%f')
22.    dcm.ContentTime = timeStr
23.    dcm.PatientName = name
24.    dcm.PatientID = patient_id
25.    dcm.StudyID = "1234"
26.    dcm.SeriesNumber = "1"
27.    dcm.PatientComments = comment
28.
29.    # Generujemy unikatowe ID instancji
30.    dcm.SOPInstanceUID = dic.uid.generate_uid()
31.    dcm.SeriesInstanceUID = dic.uid.generate_uid()
32.    dcm.StudyInstanceUID = dic.uid.generate_uid()
33.    dcm.FrameOfReferenceUID = dic.uid.generate_uid()
```

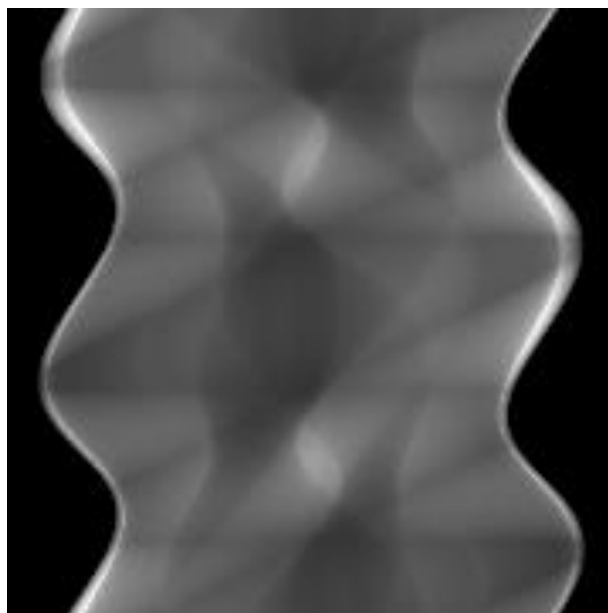
```
34.
35. # Parametry obrazu
36. dcm.ImageType = ["ORIGINAL", "PRIMARY", "AXIAL"]
37. dcm.Modality = "CT"
38. dcm.Rows = reconstructed.shape[0]
39. dcm.Columns = reconstructed.shape[1]
40. dcm.BitsAllocated = 8
41. dcm.BitsStored = 8
42. dcm.HighBit = dcm.BitsStored - 1
43. dcm.SamplesPerPixel = 1
44. dcm.PhotometricInterpretation = 'MONOCHROME2'
45. dcm.PixelRepresentation = 0
46. dcm.PixelData = reconstructed.astype(np.uint8).tobytes() # piksele obrazka
47.
48. # Prywatne bloki do zapisania własnych danych, np.: komentarza
49. block = dcm.private_block(0x000b, "PUT 151785 151741", create=True)
50. block.add_new(0x01, "SH", comment)
51. dcm.save_as("output.dcm", write_like_original=False)
```

#### 4) Przykład działania programu dla dwóch obrazków

a) Shepp\_Logan



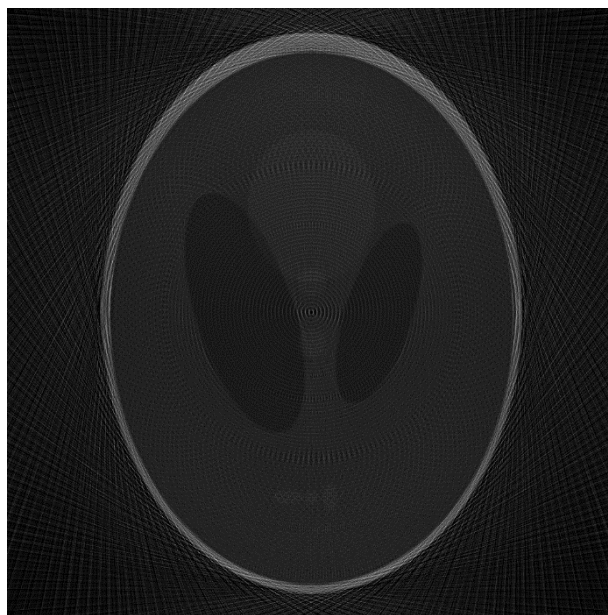
1.1. Obraz oryginalny



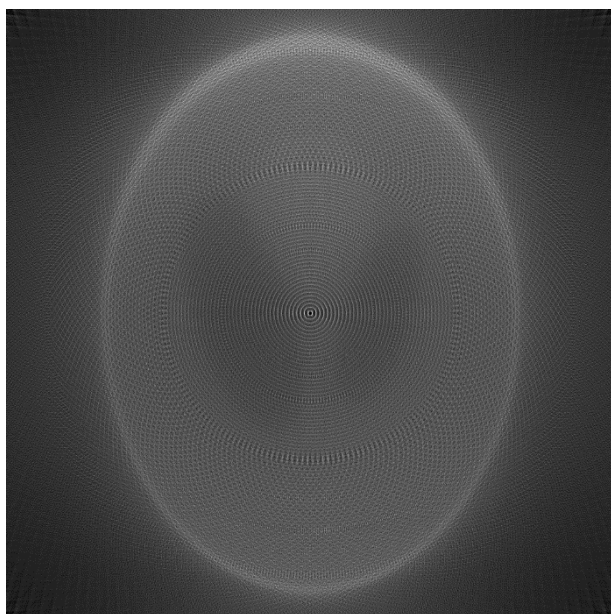
1.2. Sinogram



1.3. Filtrowany sinogram



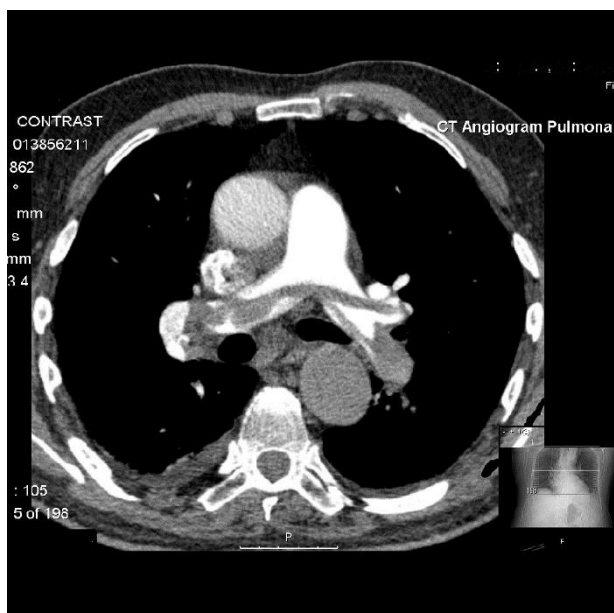
1.4. Obraz zrekonstruowany



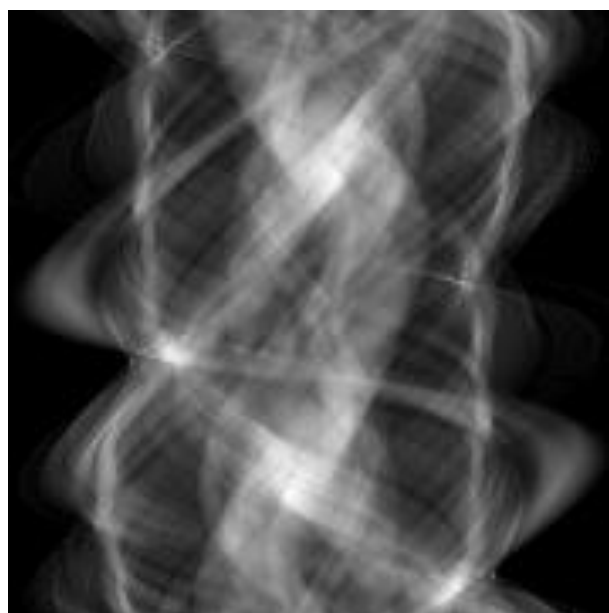
1.5. Obraz zrekonstruowany bez filtrowania



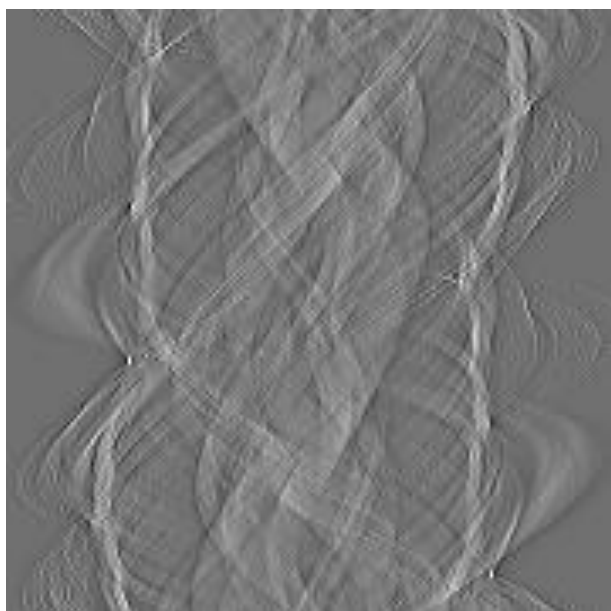
b) SADDLE\_PE-large



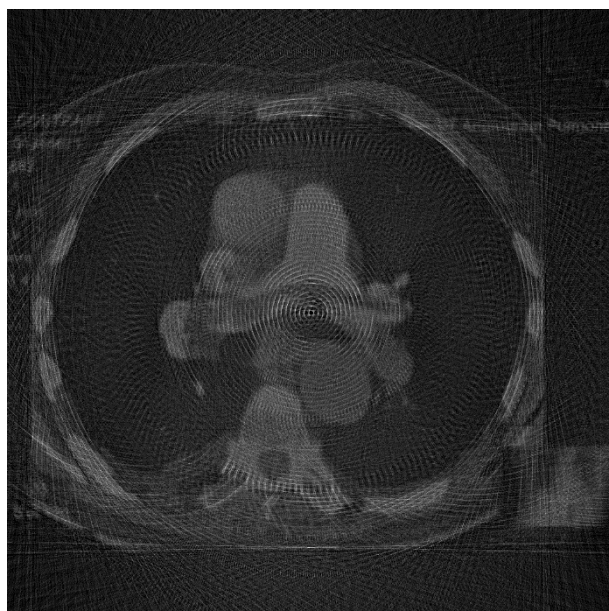
2.2. Obraz oryginalny



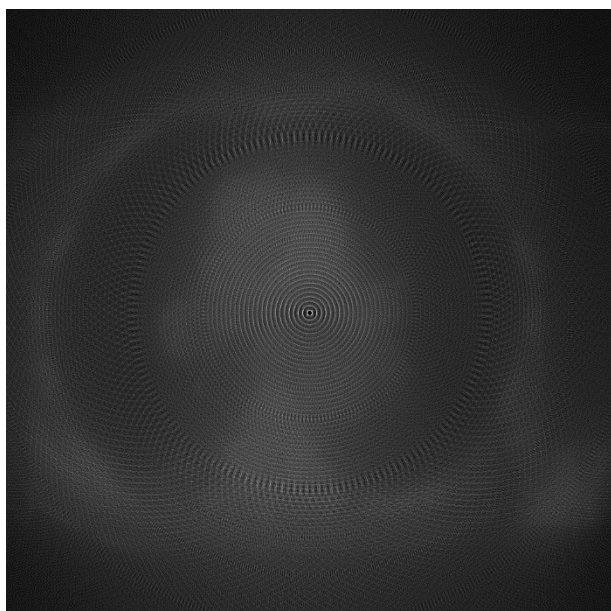
2.2. Sinogram



2.3. Filtrowany sinogram



2.4. Zrekonstruowany obraz



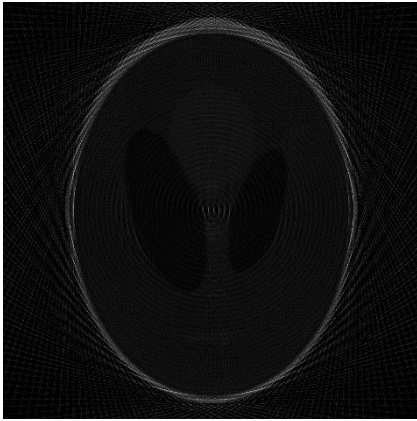
2.5. Zrekonstruowany obraz bez filtrowania

## 5) Wyniki eksperymentów sprawdzających wpływ poszczególnych parametrów na jakość obrazu wynikowego

a) Eksperymenty zostały przeprowadzone na obrazie Shepp\_Logan, domyślne parametry ustawione na: 180 detektorów, 180 skanów, rozpiętość wachlarza  $180^\circ$ .

b) Zmienna liczba detektorów od 90 do 720 z krokiem 90

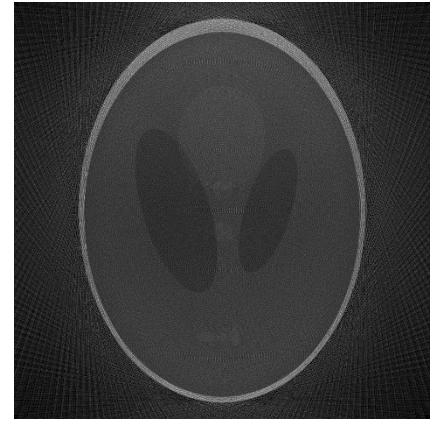
i) Obrazy



*Liczba detektorów = 90*



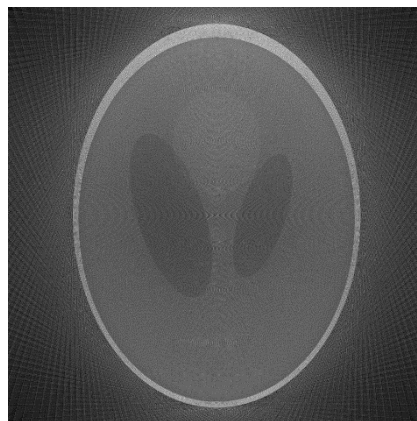
*Liczba detektorów = 180*



*Liczba detektorów = 270*



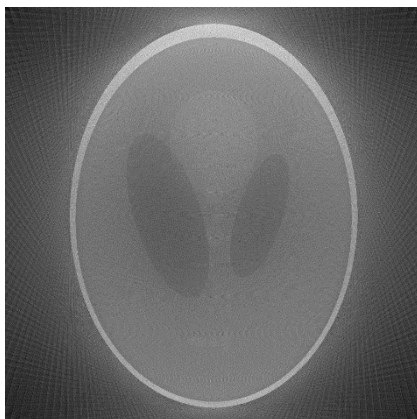
*Liczba detektorów = 360*



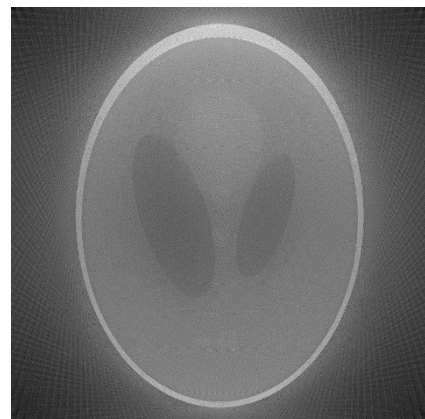
*Liczba detektorów = 450*



*Liczba detektorów = 540*



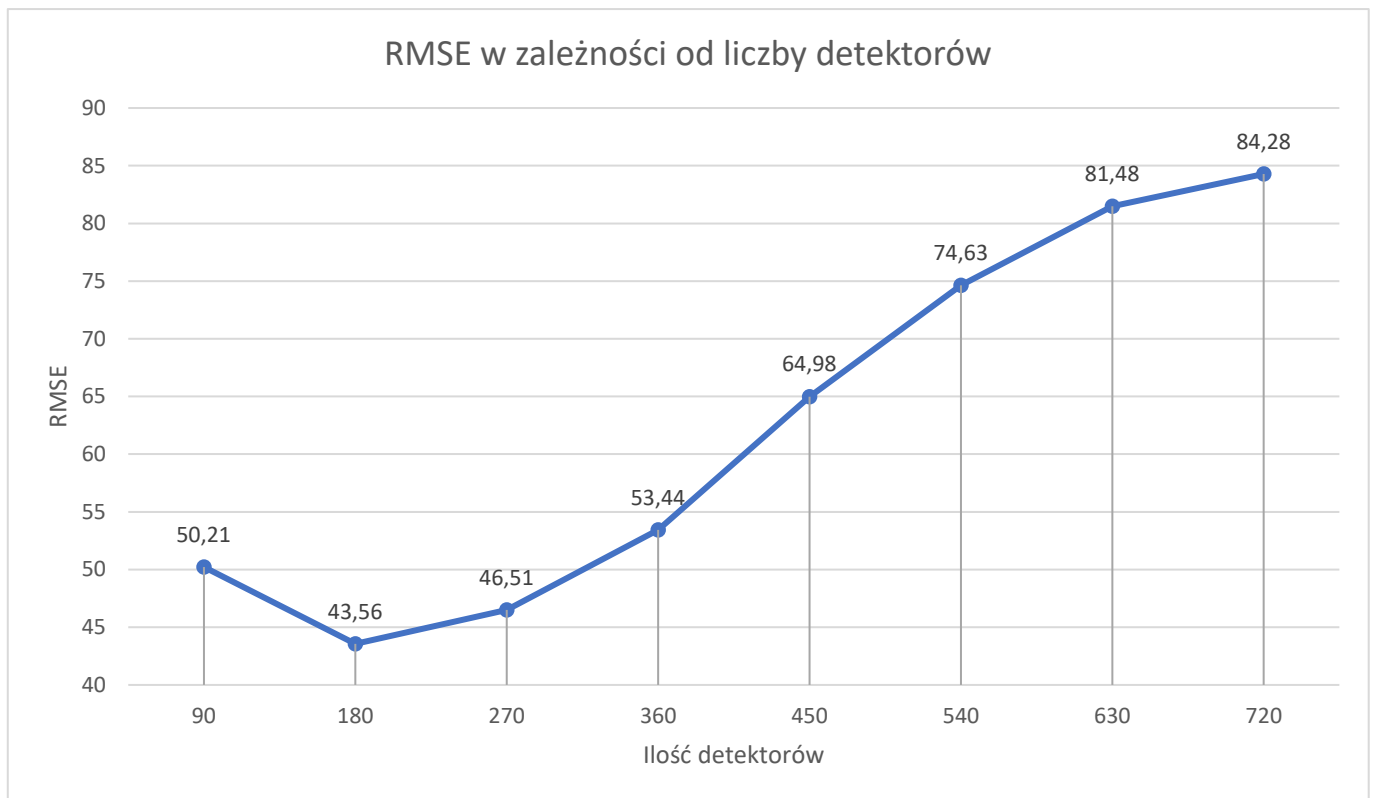
*Liczba detektorów = 630*



*Liczba detektorów = 720*



## ii) Wykres RMSE



## iii) Wnioski

Początkowo jakość rekonstrukcji zwiększa się, lecz przy następnych konfiguracjach błąd powiększa się ze względu na przejaśnienie obrazu. Wartości te są zgodne z wyglądem obrazu.

c) Zmienna liczba skanów od 90 do 720 z krokiem 90

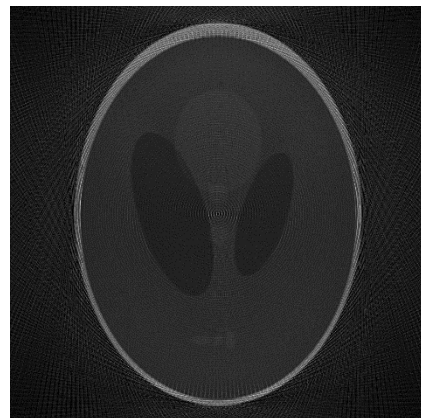
i) Obrazy



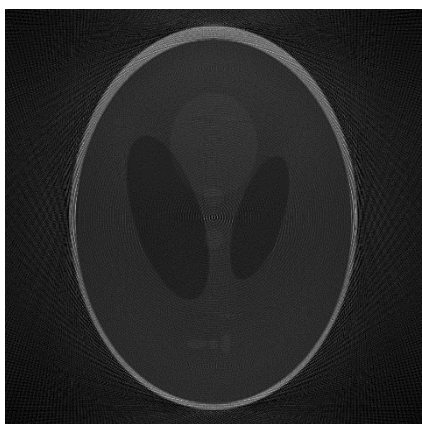
*Liczba skanów = 90*



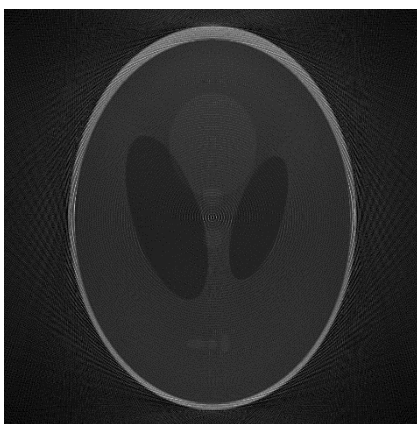
*Liczba skanów = 180*



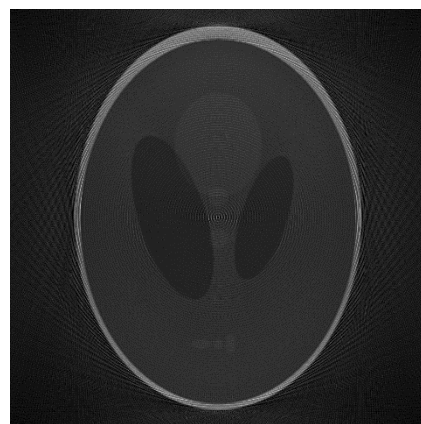
*Liczba skanów = 270*



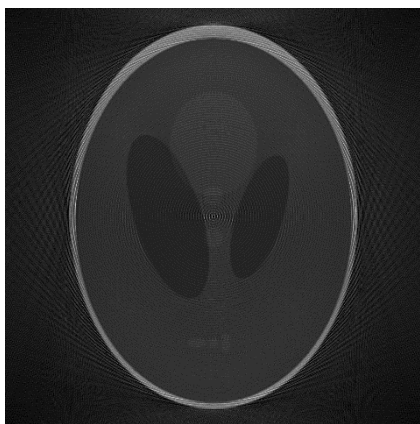
*Liczba skanów = 360*



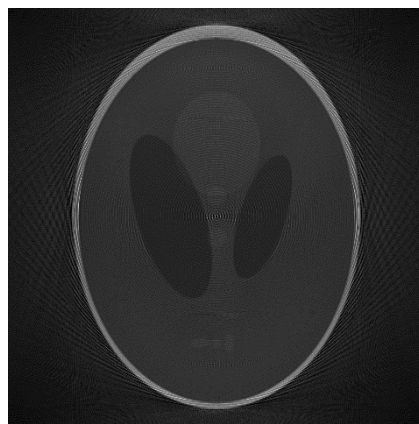
*Liczba skanów = 450*



*Liczba skanów = 540*

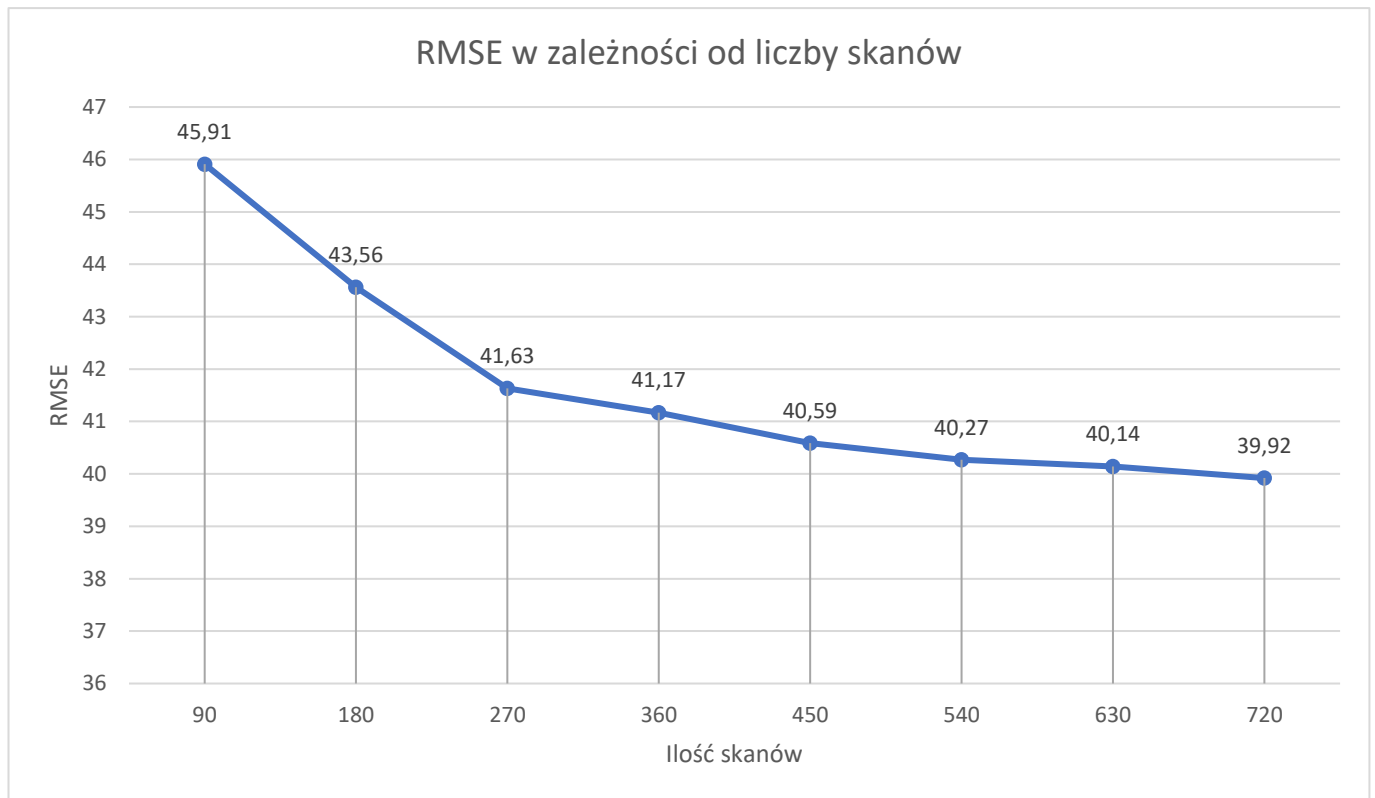


*Liczba skanów = 630*



*Liczba skanów = 720*

## ii) Wykres RMSE

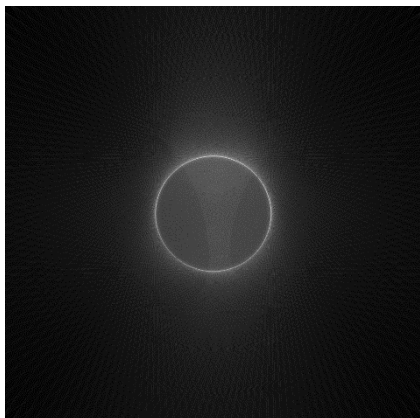


## iii) Wnioski

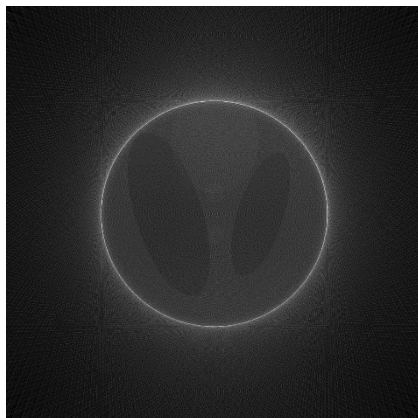
Zwiększenie liczby skanów powoduje polepszenie jakości obrazu, lecz konfiguracje powyżej 270 nie powodują zauważalnej poprawy jakości. Zgadza się to z wartościami RMSE, które maleją nieliniowo.

d) Zmienna rozpiętość wachlarza od  $45^\circ$  do  $270^\circ$  z krokiem  $45^\circ$

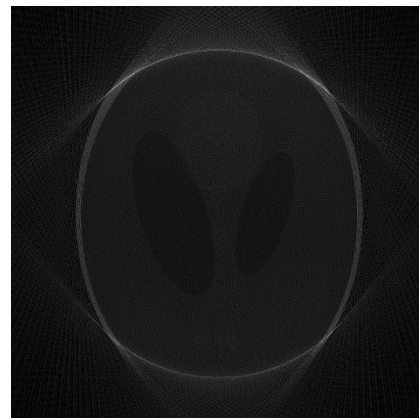
i) Obrazy



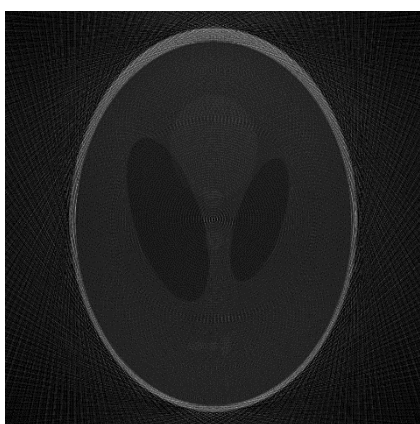
*Rozpiętość detektorów = 45*



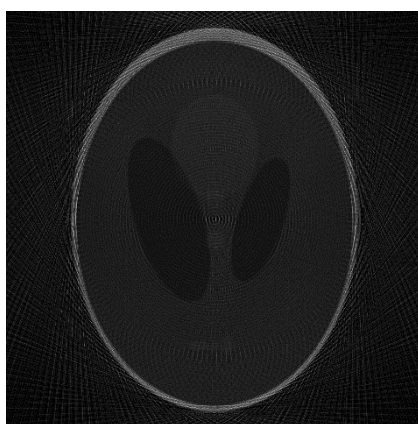
*Rozpiętość detektorów = 90*



*Rozpiętość detektorów = 135*



*Rozpiętość detektorów = 180*



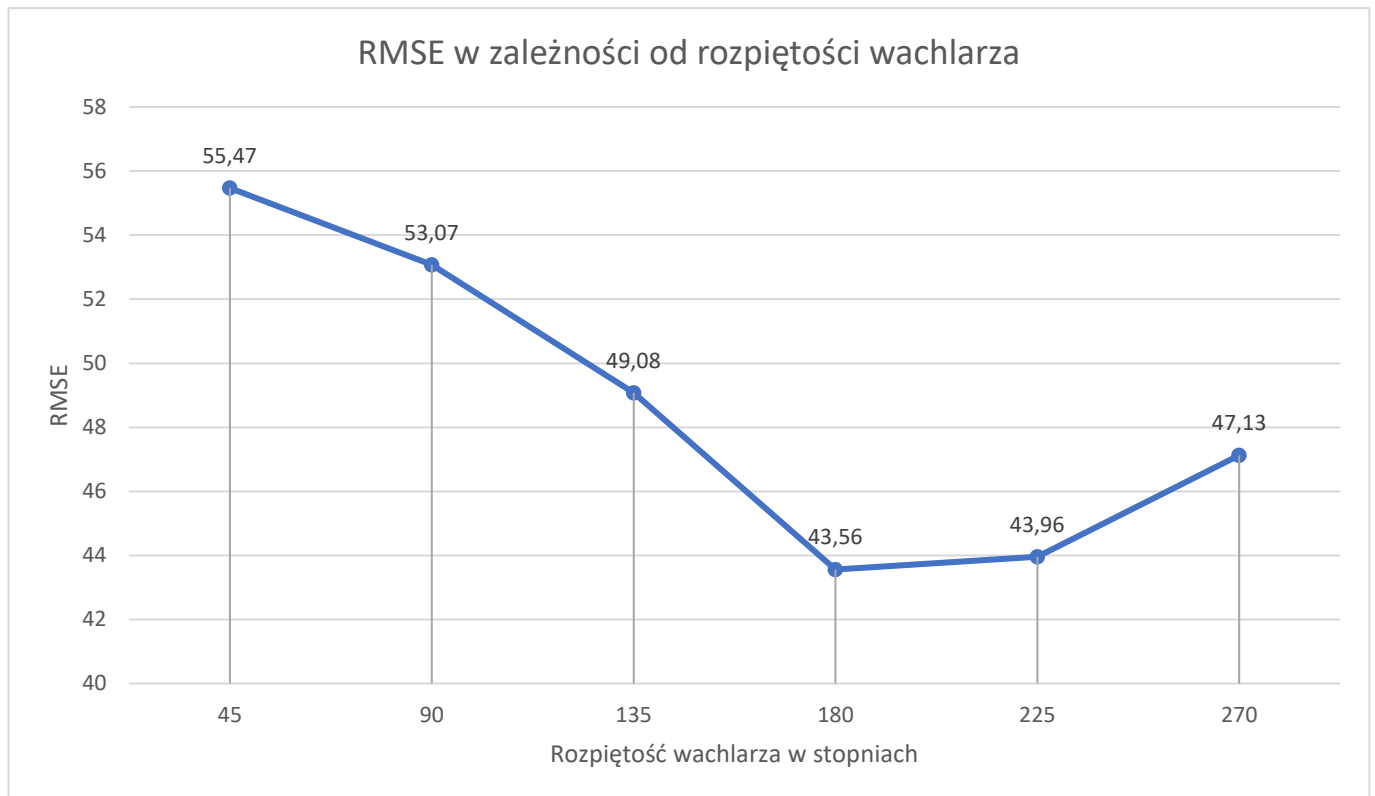
*Rozpiętość detektorów = 225*



*Rozpiętość detektorów = 270*



## ii) Wykres RMSE



## iii) Wnioski

Początkowo zwiększanie rozpiętości wachlarza detektorów powoduje zdecydowane polepszenie jakości obrazu, jednakże po przekroczeniu  $180^\circ$  jakość zaczyna się pogarszać ze względu na zbyt duże przerwy pomiędzy liniami rysowanymi przez detektory. Ogólny trend RMSE zgadza się z subiektywną oceną obrazów, lecz wartości RMSE są względnie niskie nawet przy bardzo źle odtworzonych obrazach, co z kolei nie zgadza się z subiektywnymi oczekiwaniami.

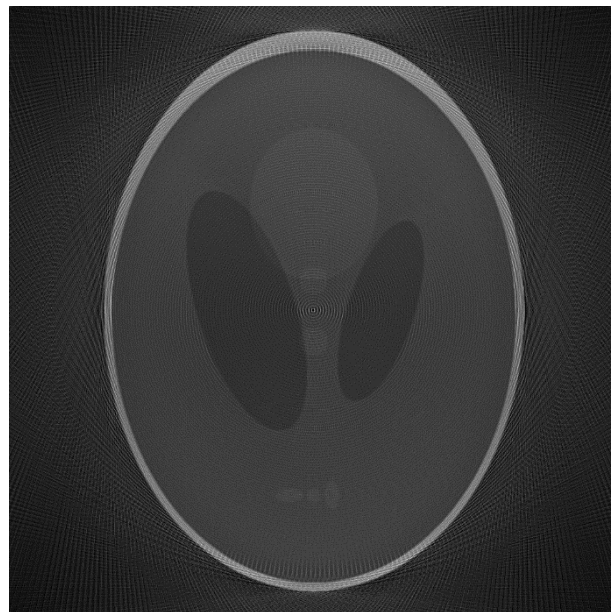
e) Wpływ filtrowania na jakość dwóch wybranych obrazów

i) Shepp\_Logan



1.1. Obraz niefiltrowany

RMSE: 71,54



1.2. Obraz filtrowany

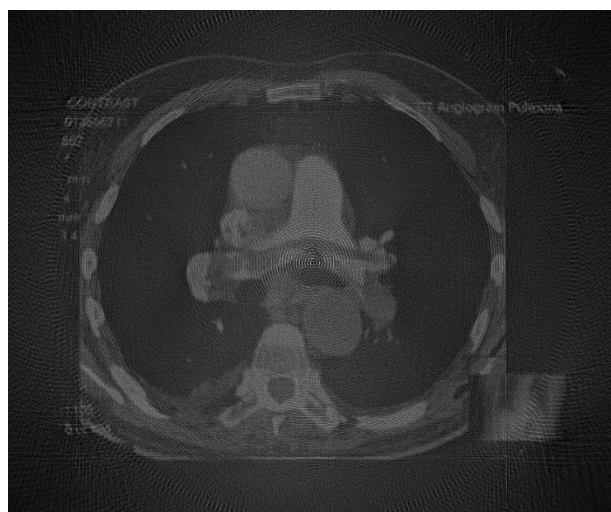
RMSE: 45,35

ii) SADDLE\_PE-large



2.1. Obraz filtrowany

RMSE: 62,78



2.2. Obraz filtrowany

RMSE: 57,18

iii) Wnioski

Różnica w jakości między obrazami filtrowanymi a niefiltrowanymi jest łatwo zauważalna. Dzięki filtrowaniu dochodzi do znacznej poprawy ostrości obrazu. Jest to również odzwierciedlone poprzez RMSE, jednak różnica wartości w przypadku obrazu Shepp\_logan jest większa ze względu na dodatkowe poprawienie jasności obrazu.